

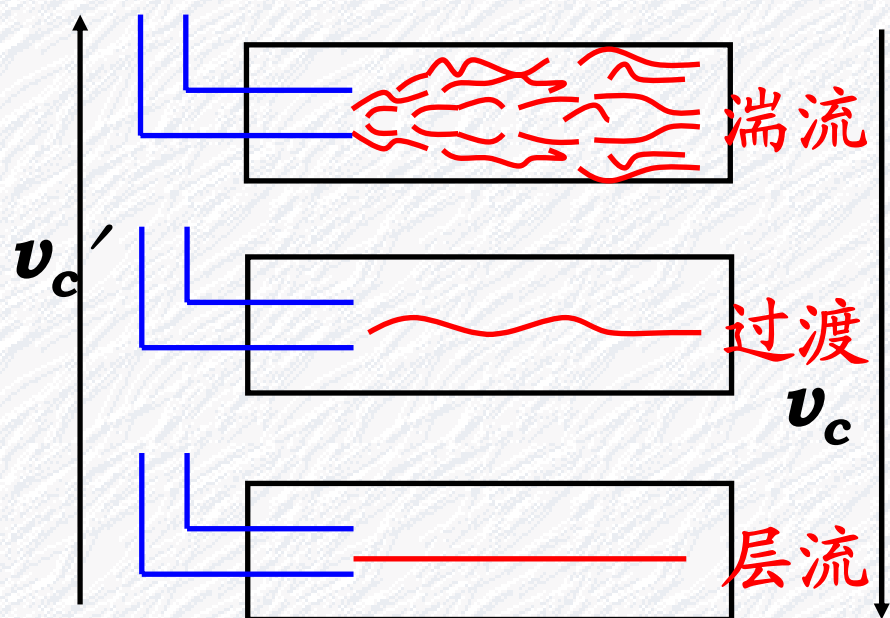
第三章 分子动理学理论之非平衡态理论

FangYi

3.1 黏性现象的宏观规律 — 力学不平衡

1° 牛顿黏性定律

(1) 层流与湍流

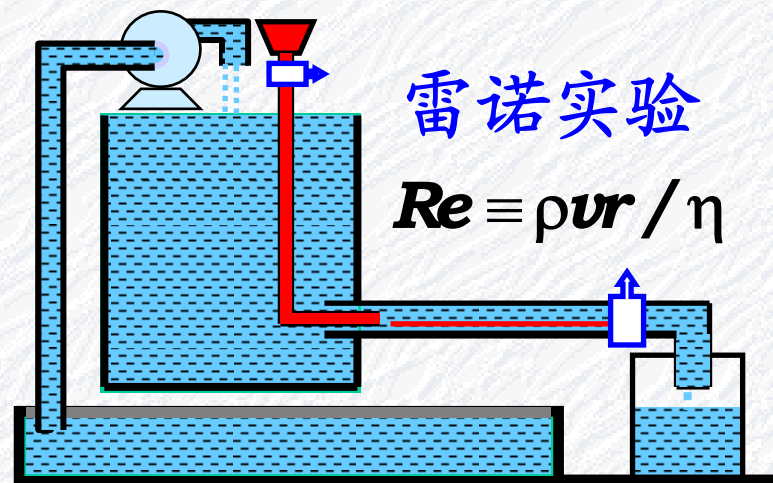


层→湍上临界: v_c'

湍→层下临界: v_c

$v_c' > v_c$

$\left\{ \begin{array}{ll} v < v_c & \text{一定是层流} \\ v > v_c' & \text{一定是湍流} \\ v_c < v < v_c' & \text{可能层流可能湍流} \end{array} \right.$



雷诺实验

$$Re \equiv \rho v r / \eta$$

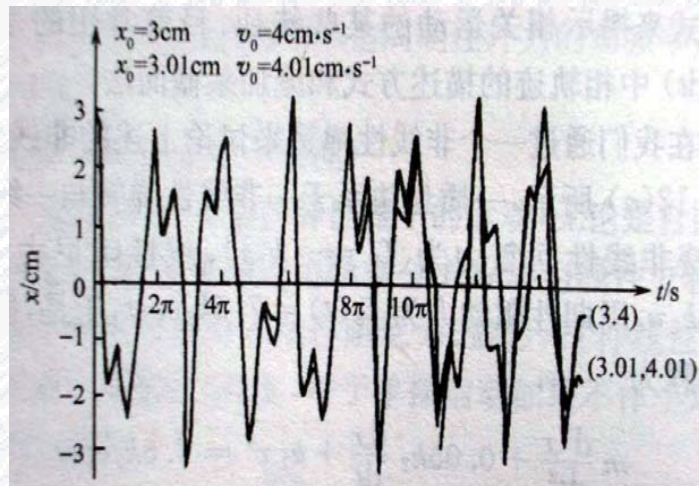
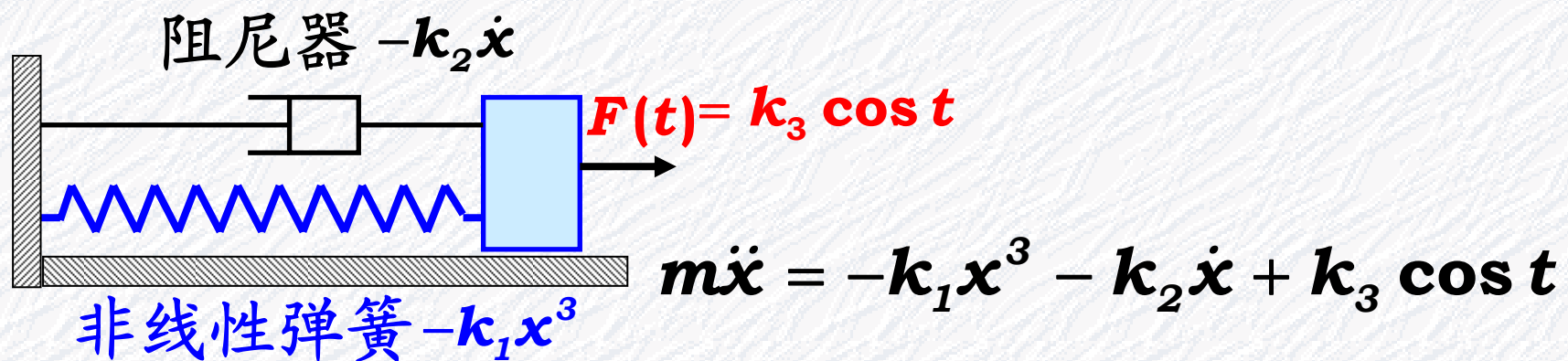
层流: 质点有规则的运动

$Re \leq 2000$ 互不干扰互不混杂

湍流: 质点混乱的运动

$Re > 2000$ (圆管)

*混沌与分形



对初值依赖的敏感性——混沌

非线性系统内在随机性——混沌

理论上因果性

并存于非线性系统

事实上随机性

混沌■现象

混沌■产生

混沌■特征 初值敏感

混沌■结构 自相似性

分形■方法

分形■特征

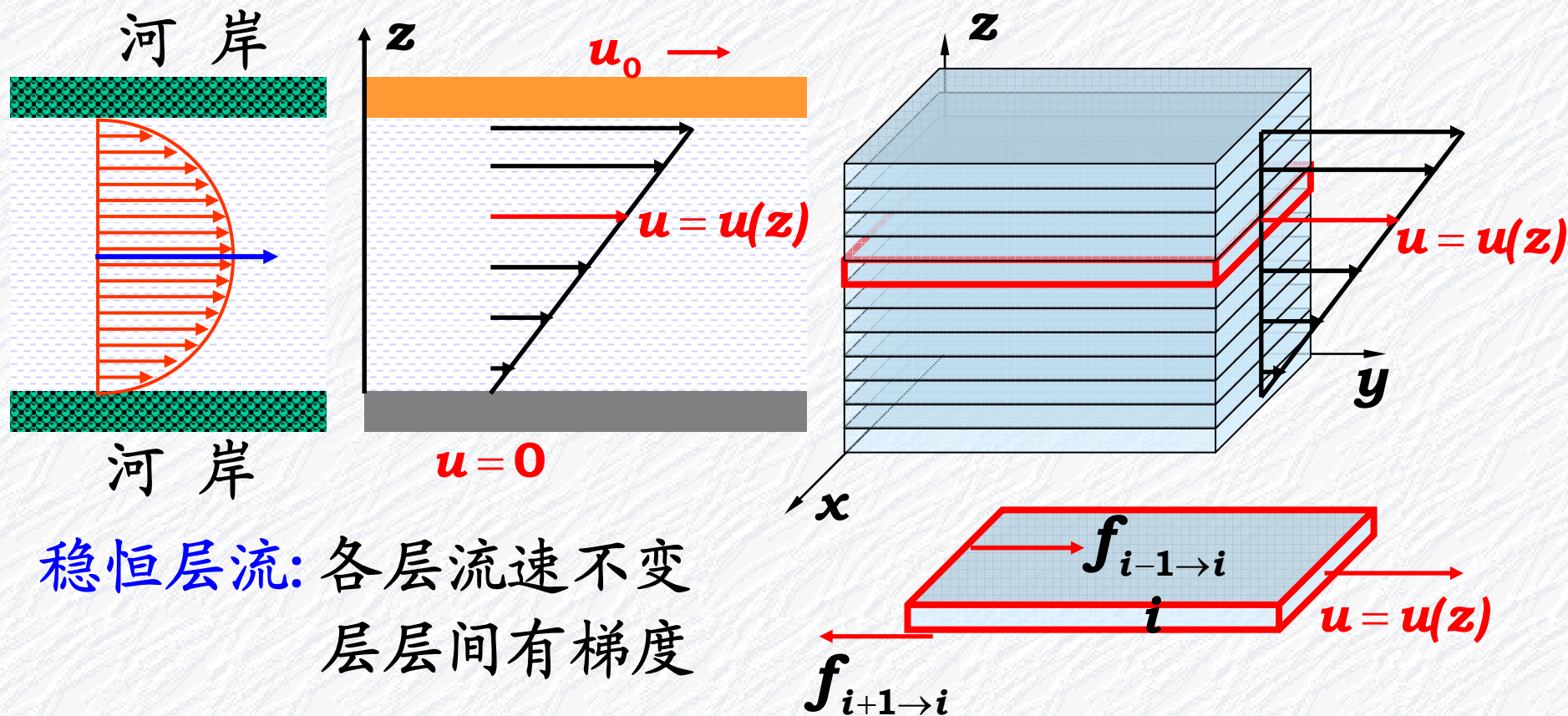
分形■形态

分形■应用

{ 自相似性
分数维数

{ 线性
非线性
随机_(统计)

(2) 稳恒层流中粘性现象



稳恒层流: 各层流速不变
层层间有梯度

微观机制: 微观热运动: 使不同层间交换分子

→ 各层宏观定向运动快慢变化 $\begin{cases} \text{快} \rightarrow \text{慢} \\ \text{慢} \rightarrow \text{快} \end{cases}$

力学语言: 黏性力 (内摩擦力)

(3) 牛顿黏性定律:

实验定律

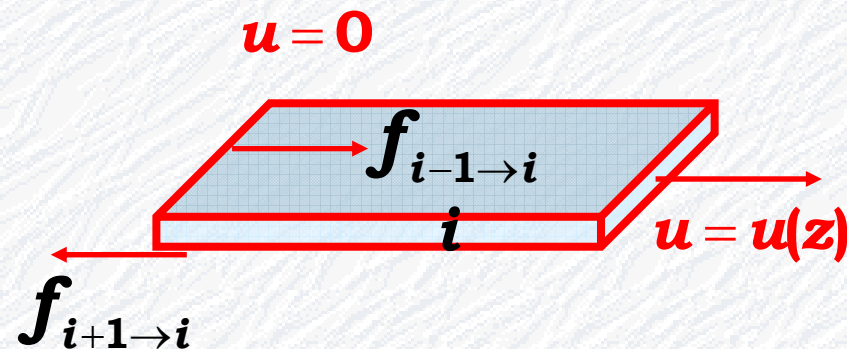
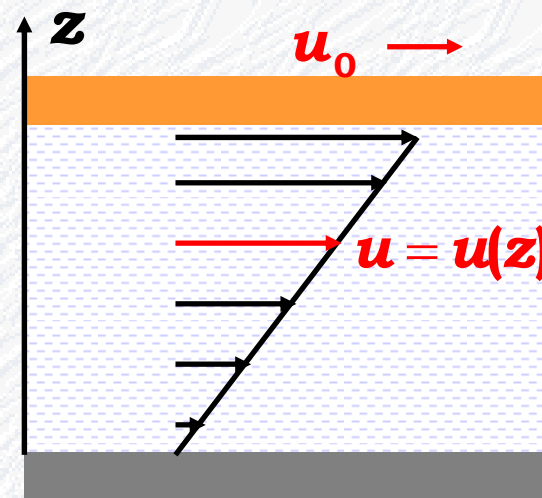
$$f = -\eta \frac{du}{dz} A$$

$$\eta_{\text{液}} = \eta_0 (1 + at + bt^2)^{-1}$$

$$a_{\text{水}} = 0.0337, b_{\text{水}} = 0.000221$$

$$\eta_{\text{气}} = \eta_0 \frac{273 + c}{T + c} \left(\frac{T}{273} \right)^{1.5}$$

t 摄氏; T 开氏



(4) 切向动量流密度:

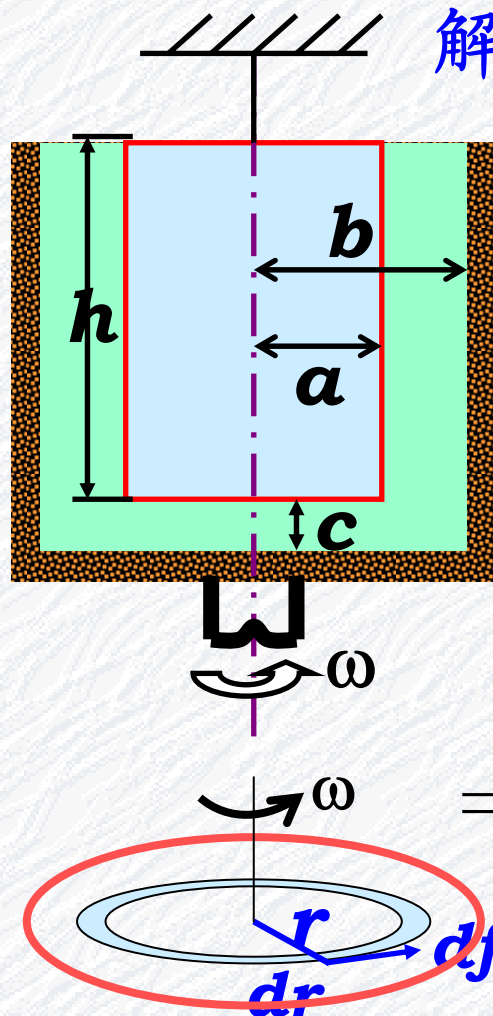
$$\left. \begin{aligned} f &= -\eta \frac{du}{dz} A \\ J_p &= \frac{dp}{dt} \frac{1}{A} \end{aligned} \right\} \Rightarrow$$

$$J_p = -\eta \frac{du}{dz}$$

稳恒层流: 各层流速不变

$$f_{i+1 \rightarrow i} = f_{i-1 \rightarrow i} \equiv f$$

【例题1】同心圆筒粘度计 $b-a \ll a$, 扭丝力矩 M , 求 η



解：侧面力矩

$$\left. \begin{aligned} M_{\text{侧}} &= f a \\ f &= -\eta \frac{du}{dz} A \\ \frac{du}{dz} &= \frac{\omega b - 0}{b - a} \\ A &= 2\pi a h \end{aligned} \right\}$$

$$\Rightarrow M_{\text{侧}} = -\frac{2\pi a^2 b h \omega}{b - a} \eta$$

底面力矩

$$\left. \begin{aligned} dM_{\text{底}} &= r df \\ df &= -\eta \frac{du}{dz} dA \\ \frac{du}{dz} &= \frac{\omega r - 0}{c} \\ dA &= 2\pi r dr \end{aligned} \right\}$$

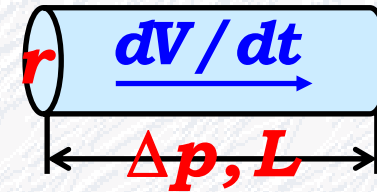
$$\begin{aligned} \Rightarrow \int_0^{M_{\text{底}}} dM_{\text{底}} &= \int_0^a -\eta \frac{2\pi\omega}{c} r^3 dr \\ \Rightarrow M_{\text{底}} &= -\frac{\eta\pi\omega a^4}{2c} \end{aligned}$$

$$M = |M_{\text{侧}}| + |M_{\text{底}}| = \frac{2\pi a^2 b h \omega}{b - a} \eta + \frac{\pi\omega a^4}{2c} \eta \Rightarrow \eta = \frac{2M(b - a)c}{4\pi a^2 b c h \omega + \pi\omega a^4 (b - a)}$$

2° 泊肃叶定律

(1) 泊肃叶定律 – 管两端压强与体积流率间关系

水平直圆管 小流量 层流



实验定律 $\frac{dV}{dt} = \frac{\pi r^4 \Delta p}{8\eta L}$ 体积流率与管径-黏度-压强梯度有关

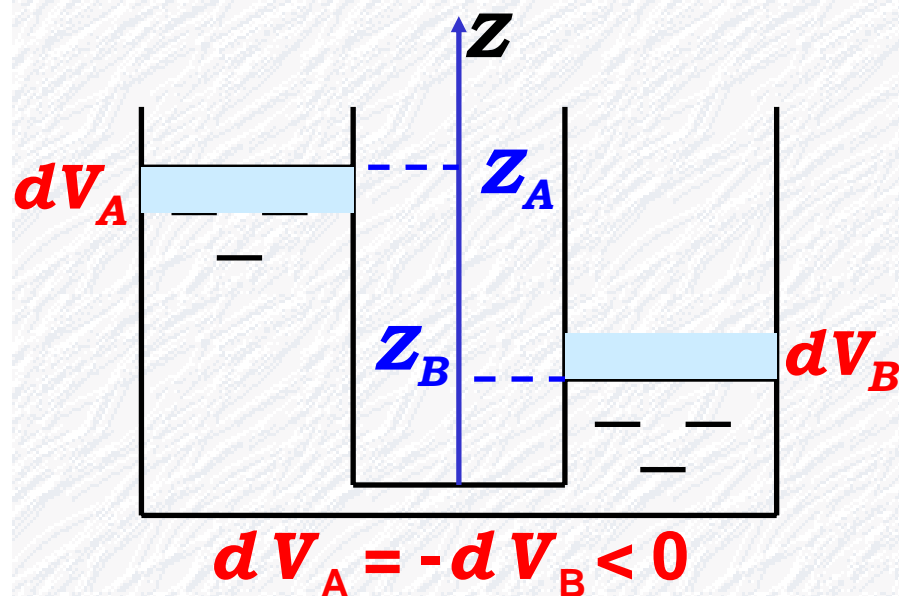
(2) 量纲分析法

$$\frac{dV}{dt} \propto r^\alpha \eta^\beta \left(\frac{\Delta p}{L}\right)^\gamma \Rightarrow \left[\frac{dV}{dt}\right] = [r]^\alpha [\eta]^\beta \left[\left(\frac{\Delta p}{L}\right)\right]^\gamma \quad f = -\eta \frac{du}{dz} A$$

$$\Rightarrow L^3 T^{-1} = L^\alpha (M T^{-1} L^{-1})^\beta (M T^{-2} L^{-2})^\gamma = L^{\alpha-\beta-2\gamma} M^{\beta+\gamma} T^{-\beta-2\gamma}$$

$$\Rightarrow \begin{cases} 3 = \alpha - \beta - 2\gamma \\ 0 = \beta + \gamma \\ -1 = -\beta - 2\gamma \end{cases} \Rightarrow \begin{cases} \alpha = 4 \\ \beta = -1 \\ \gamma = 1 \end{cases} \Rightarrow \frac{dV}{dt} = \frac{\pi}{8} r^4 \eta^{-1} \left(\frac{\Delta p}{L}\right)^1$$

【例题2】两圆柱半径 a , 用 L, r ($\ll a$)细管连底部, 液体 ρ, η , 求两边液面高度差降为原一半需 t



(4) (2) 代入 (1)

(3) 代入 (5) 化简

$$\text{解: } \frac{dV}{dt} = \frac{\pi r^4 \Delta p}{8\eta L} \quad (1)$$

$$p_A - p_B = \rho g(z_A - z_B) \quad (2)$$

$$V_A - V_B = \pi a^2(z_A - z_B) \quad (3)$$

$$dV_A - dV_B = -2dV \quad (4)$$

$$-\frac{d(V_A - V_B)}{2dt} = \frac{\pi r^4 \rho g \Delta z}{8\eta L} \quad (5)$$

$$\Rightarrow \int_H^{\frac{H}{2}} \frac{d\Delta z}{\Delta z} = \int_0^t -\frac{\rho g r^4}{4\eta L a^2} dt$$

$$\Rightarrow t = \frac{4\eta L a^2}{\rho g r^4} \ln 2$$

3° 斯托克斯定律

(1) 斯托克斯定律

$$f = 6\pi\eta vR \quad \text{适用条件: } Re < 1$$

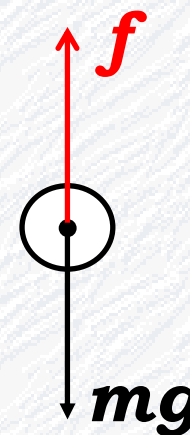
如果: $Re \sim 10^3 \sim 10^5$ 与黏性无关 $\rightarrow f = 0.2\pi\rho R^2 v^2$

(2) 应用——云雾的形成

$$f = mg$$

$$\Rightarrow 6\pi\eta vR = \frac{4}{3}\pi R^3 \rho g$$

$$\text{收尾速度: } v_{max} = \frac{2\rho g R^2}{9\eta}$$



3.2 扩散现象的宏观规律——化学不平衡

1° 菲克定律

(1) 扩散 🎬

粒子数密度不均匀 } \Rightarrow 高密度 \rightarrow 低密度
分子热运动

(2) 菲克定律

粒子流密度 J_N : 单位时间单位面积扩散的粒子数

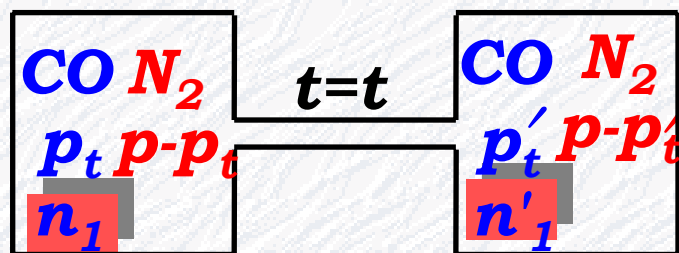
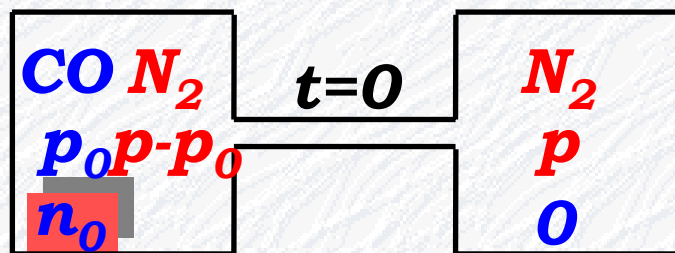
$$J_N = -D \frac{dn}{dz}$$

$$\Rightarrow J_N A m = -D \frac{dn}{dz} A m$$

$$\Rightarrow \frac{dM}{dt} = -D \frac{d\rho}{dz} A$$

单位时间过A扩散的质量

【例题3】均为 V 两容器, 用 $L, A (<< V)$ 水平管连接,
 设 CO 向 N_2 、 N_2 向 CO 扩散系数均为 D ,
 求左边容器 CO 分压 $p_{(t)}$



解: 菲克定律 $J_N = -D \frac{dn}{dz}$

$$\left. \begin{aligned} \frac{dn_1}{dt} &= -D \frac{n_1 - n'_1}{L} A \\ n_1 + n'_1 &= n_0 \end{aligned} \right\}$$

$$\Rightarrow \int_{n_0}^{n_1(t)} \frac{dn_1}{2n_1 - n_0} = -\frac{DA}{LV} \int_0^t dt$$

$$\Rightarrow n_{1(t)} = \frac{1}{2} n_0 \left[1 + e^{-\frac{2DA t}{LV}} \right]$$

$p = nkT$

$$\Rightarrow p_{1(t)} = \frac{1}{2} p_0 \left[1 + e^{-\frac{2DA t}{LV_{12}}} \right]$$

[思考] p, p_0 已知, 如何求
 右边容器 N_2 分压 $p_{(t)}$

3.3 热传导的宏观规律——热学不平衡

1° 傅立叶定律

(1) 热传导 🎥

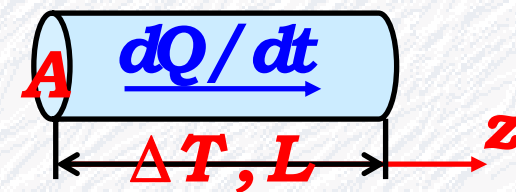
温度分布不均匀
热量传递方向 } \Rightarrow 高温 \rightarrow 低温

(2) 傅立叶定律

热流密度 J_T : 单位时间单位面积流过的热量

$$J_T = -\kappa \frac{dT}{dz}$$

κ : 热导系数



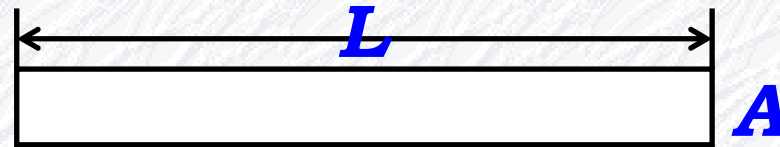
$$\dot{Q} = -\kappa \frac{dT}{dz} A$$

单位时间流过 A 的热量

2° 热欧姆定律

类比法

热学 ↔ 电学



$$I_T(\dot{Q}) \leftrightarrow I\left(\frac{dq}{dt}\right)$$

$$\Delta U_T(-\Delta T) \leftrightarrow U$$

$$R_T \leftrightarrow R$$

$$\dot{Q} = -\kappa \frac{dT}{dz} A \Rightarrow I_T = \kappa \frac{\Delta U_T}{L} A \Rightarrow I_T = \frac{\Delta U_T}{L / \kappa A}$$

$$\Rightarrow R_T = \frac{L}{\kappa A} = \frac{\rho_T L}{A} \quad \rho_T : \text{热阻率}$$

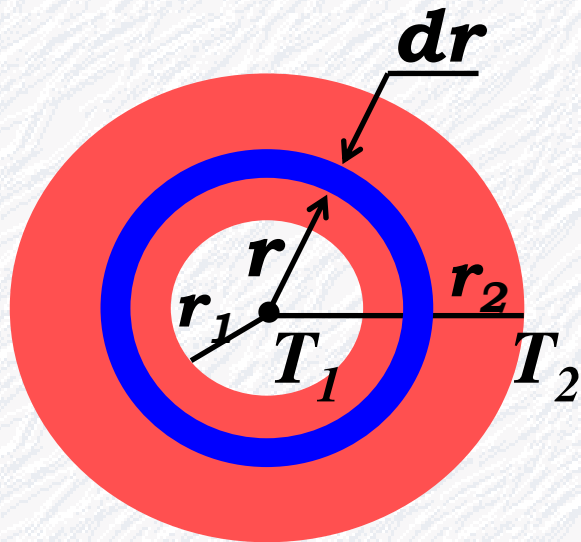
热阻的串并联

$$\text{串: } R_{T\text{总}} = \sum_i R_{Ti}$$

$$\text{并: } R_{T\text{总}}^{-1} = \sum_i R_{Ti}^{-1}$$

【例题4】均匀球壳内外表面保持 T_1 , T_2 不变,
求稳态时球壳温度 $T_{(r)}$

解: 对球壳 $r \rightarrow r+dr$, 温度 $T \rightarrow T+dT$



应用傅立叶定律 $\dot{Q} = -\kappa \frac{dT}{dz} A$

稳态 $\dot{Q} = c$

$$\Rightarrow \int dT = -\frac{c}{4\pi\kappa} \int \frac{dr}{r^2}$$

$$\Rightarrow T_{(r)} = \frac{A}{r} + B \quad \left\{ \begin{array}{l} T_1 = \frac{A}{r_1} + B \\ T_2 = \frac{A}{r_2} + B \end{array} \right. \Rightarrow \left\{ \begin{array}{l} A = \frac{r_1 r_2 (T_1 - T_2)}{r_2 - r_1} \\ B = \frac{T_2 r_2 - T_1 r_1}{r_2 - r_1} \end{array} \right.$$

$$\Rightarrow T_{(r)} = \frac{r_1 r_2 (T_1 - T_2)}{r(r_2 - r_1)} + \frac{T_2 r_2 - T_1 r_1}{r_2 - r_1}$$

3. 4辐射传热

1° 热辐射有关概念

(1) 热辐射🔥 -与温度有关的辐射.

任何物体任何温度, 因分子或原子受到热激发而向外辐射电磁波的现象.

(2) 辐射出射度 M (总辐射本领) (W/m^2)

单位时间单位面积各种波长总辐射能

(3) 吸收本领 $\alpha(\lambda, T)$: 吸收能量/入射能量

(4) 反射本领 $\rho(\lambda, T)$: 反射能量/入射能量

不透明物体 $\alpha(\lambda, T) + \rho(\lambda, T) = 1$



(5) 辐射本领与吸收本领的关系

各物体辐射本领/吸收本领=常量

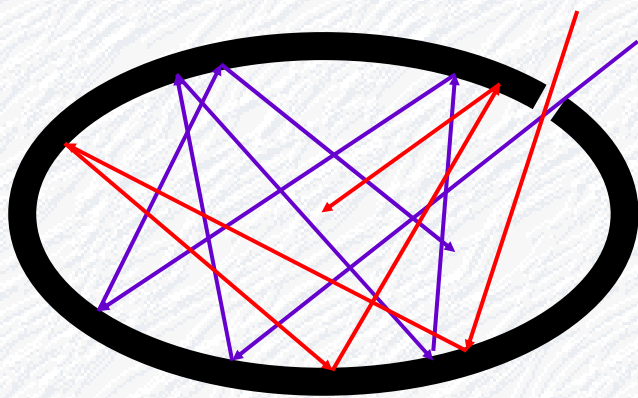
吸收本领大的物体, 辐射本领大

(6) 绝对黑体: 任意 T , 对任意 λ , $\alpha(\lambda, T) \equiv 1$ 的物体

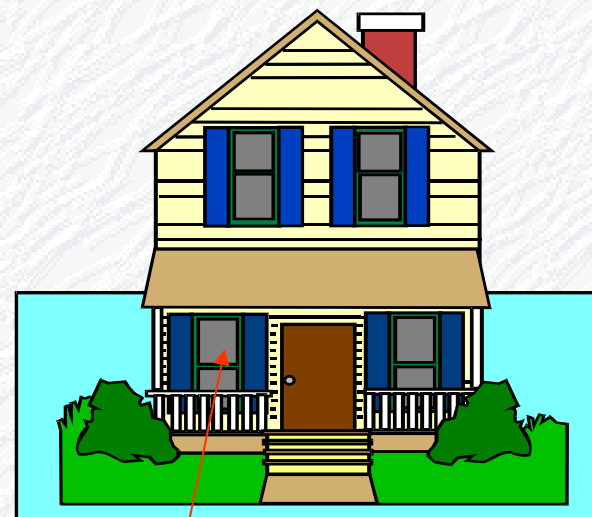
无反射
无透射

$$M = \alpha \sigma T^4$$

$$\sigma = 5.699 \times 10^{-8} \text{SI}$$



不透明空腔小孔



白天开窗的室内

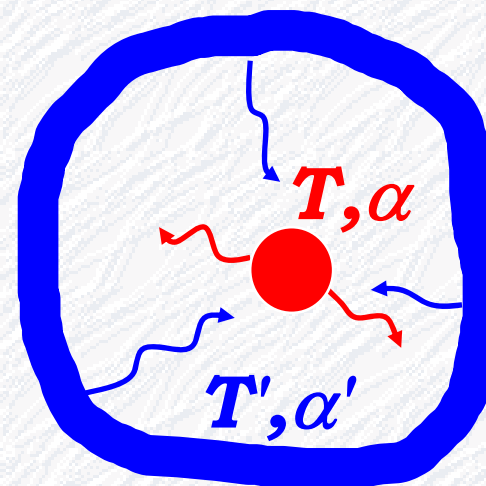
煤炭 $\alpha(\lambda, T) = 99\%$

2° 热辐射有关现象

(1) 温室防热辐射

(2) 空腔热辐射

$$\left. \begin{array}{l}
 \text{空腔出射度 } M' = \alpha' \sigma T'^4 \\
 \text{物体辐照度 } E = M' \\
 \text{物体吸收辐照能量 } \alpha E \\
 \text{物体出射度 } M = \alpha \sigma T^4
 \end{array} \right\}$$



→ 物体净能流密度

$$J_T = \alpha \alpha' \sigma T'^4 - \alpha \sigma T^4$$

小物体空腔辐射传热

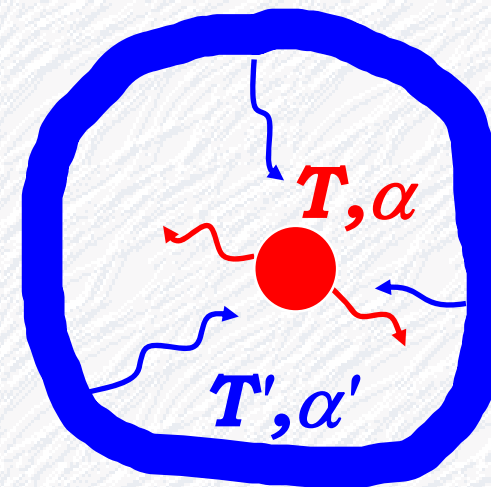
(3) 人体热辐射

人 $\alpha \approx 1$ 空腔环境 $\alpha' \approx 1$

人体得到热辐射净功率

$$\left. \begin{aligned} p &= J_T A = \sigma(T'^4 - T^4)A \\ T' &= 293K \quad T = 306K \\ A &= 1.7m^2 \end{aligned} \right\}$$

$$\Rightarrow \left. \begin{aligned} p &= -135W \\ p_{\text{基础}} &= -81W \end{aligned} \right\} > p_{\text{食物}} = 121W$$



物体净能流密度

$$J_T = \alpha\alpha'\sigma T'^4 - \alpha\sigma T^4$$

小物体空腔辐射传热

3.5 对流传热

1° 自然对流

(1) 概念 借助于流体重力流动传热 ($\rho_{\text{高温}} < \rho_{\text{低温}}$)

(2) 示例- 空调强迫对流, 太阳能热水器

2° 牛顿冷却定律

(1) 牛顿冷却定律

$$\dot{Q} = hA(T - T_0)$$

T : 热源温度

T_0 : 环境温度

A : 热源表面积

h : 热适应系数 - 与散热面取向有关

$$h_{\text{面向上}} > h_{\text{面的法向水平}} > h_{\text{面向下}}$$

(2) 集成电路散热

【例题5】热容 C 物体处于 T_0 环境, 以功率 p_0 加热, 物体能达到最高 T_1 , 漏热服从牛顿冷却定律, 停止加热, 物体从 T_1 降为 $(T_1 + T_0)/2$ 需 t ?

解: 以 p_0 提供物体能量 = 物体向环境漏热时
物体达到最高温度, 温度不再升高

$$\left. \begin{aligned} \dot{Q} &= hA(T - T_0) \\ p_0 &= -\dot{Q}\Big|_{T=T_1} = -hA(T_1 - T_0) \\ dQ &= CdT \end{aligned} \right\} \Rightarrow \int_0^t dt = -\frac{C(T_1 - T_0)}{p_0} \int_{T_1}^{\frac{T_1 + T_0}{2}} \frac{dT}{T - T_0}$$

$$\Rightarrow t = \frac{T_1 - T_0}{p_0} C \ln 2$$

3.6 气体分子的平均自由程

1° 平均碰撞频率 \bar{z}

(1) 概念: 一分子每秒与其它分子碰撞的统计平均次数

(2) 表达式: $\bar{z} = \sqrt{2}\pi d^2 \bar{v} n$

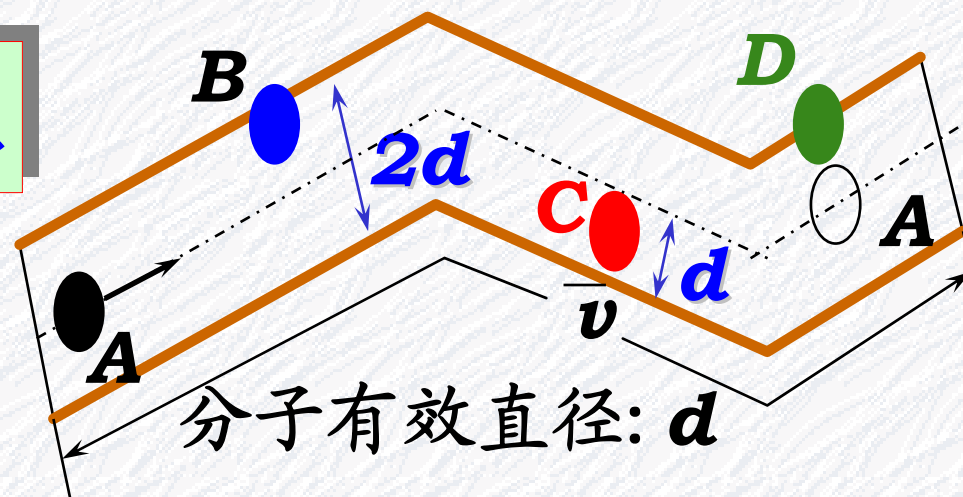
A分子以 \bar{v} 运动,
其它分子不动.

每秒分子的路程 \bar{v}

凡中心位于管内的分子都将与 **A** 分子碰撞

曲圆柱体积 $\pi d^2 \bar{v}$ 相应碰撞次数 $\pi d^2 \bar{v} n$

考虑其它分子运动, 碰撞次数修正系数为 $\sqrt{2}$



*散射截面 (碰撞截面) σ 同种分子 $\sigma = \pi d^2$

不同分子 $\sigma = \pi \left(\frac{d_1 + d_2}{2} \right)^2$

d : 分子碰撞的有效直径 $t \uparrow \rightarrow E_{k0} \uparrow \rightarrow r \text{轴上移} \uparrow \rightarrow d \downarrow$

r_0 : 两分子刚接触其质心间距, 称为分子直径 r_0 与 t 无关

2° 平均自由程

(1) 自由程 λ : 分子在连续两次碰撞之间自由走过的路程

(2) 平均自由程 $\bar{\lambda}$: 自由程的统计平均值

(3) 表达式:

$$\bar{\lambda} = \frac{1}{\sqrt{2}n\sigma}$$

$$\xrightarrow{p=nkT}$$

$$\bar{\lambda} = \frac{kT}{\sqrt{2}\sigma p}$$

$$\bar{\lambda} = \frac{\bar{v}t}{\bar{z}t} = \frac{\bar{v}}{\sqrt{2}\pi d^2 \bar{v} n} = \frac{1}{\sqrt{2}\pi d^2 n}$$

【例题6】空气平均分子量29, $d=3.5\times 10^{-10}m$

求标况空气分子平均自由程、平均碰撞频率

解: $\bar{\lambda} = kT / (\sqrt{2}\pi d^2 p)$

$$= \frac{1.38 \times 10^{-23} \times 273.15}{\sqrt{2}\pi \times (3.5 \times 10^{-10})^2 \times 1.013 \times 10^5}$$

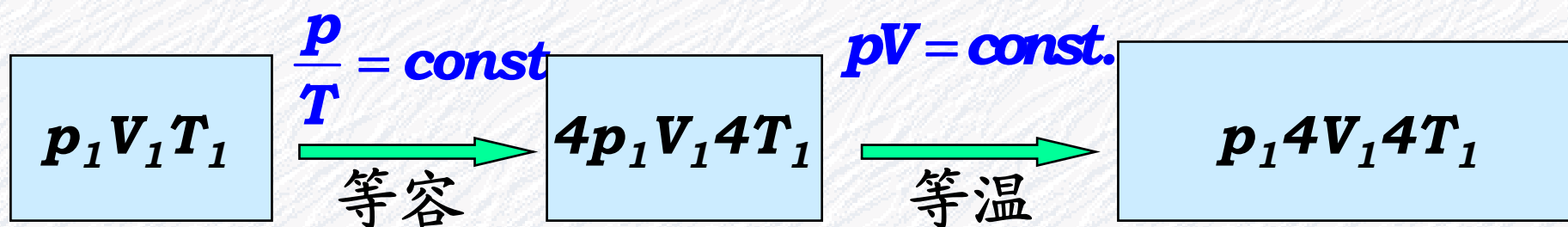
$$= 6.98 \times 10^{-8} m$$

$$\bar{z} = \bar{v} / \bar{\lambda} = \sqrt{8RT / (\pi M)} / \bar{\lambda}$$

$$= \sqrt{\frac{8 \times 8.31 \times 273.15}{\pi \times 29 \times 10^{-3}}} / (6.98 \times 10^{-8})$$

$$= 6.5 \times 10^9 / s = 65 \text{亿次} / s$$

[讨论题] 一定量某理气, 等容使 $T \rightarrow 4T$;
再等温使 $V \rightarrow 4V$, 则分子平均 \bar{Z}
是原频率的 1/2 倍。



解: $\bar{Z} = \sqrt{2n\pi d^2 \bar{v}} = \sqrt{2(N/V)\pi d^2 \sqrt{8RT/(\pi M)}} = c\sqrt{T/V}$

$$\Rightarrow \bar{Z}_3 = c\sqrt{T_3/V_3} = c\sqrt{4T_1/(4V_1)} = \bar{Z}_1/2$$

[讨论题] p 一定的某理气, $(A)\bar{Z}$ 与 T 无关 $(B)\bar{Z} \propto \sqrt{T}$

$$(\text{C})\bar{Z} \propto \frac{1}{\sqrt{T}} \quad (D)\bar{Z} \propto T$$

$$\text{解: } \bar{Z} = \sqrt{2n\pi d^2 \bar{v}} = \sqrt{2} \frac{p}{kT} \pi d^2 \sqrt{\frac{8RT}{\pi M}} \propto \frac{1}{\sqrt{T}}$$

3.7 气体输运

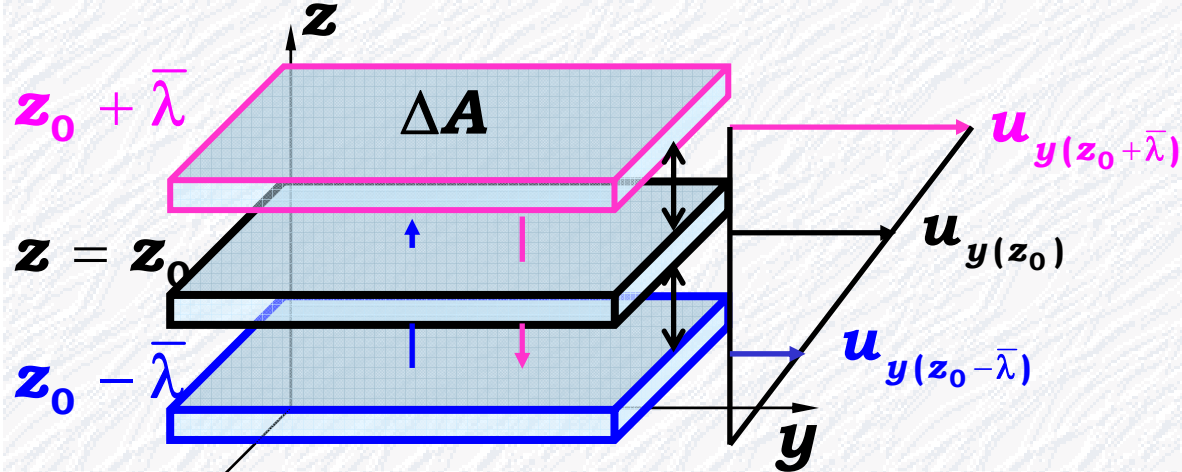
1° 气体输运系数

输运微观本质：分子热运动

输运宏观结果：输运宏观物理量(动量, 质量, 能量)

输运问题讨论条件：近平衡的非平衡过程
足够稀薄又不是真空

(1) 气体黏性系数



① 导出 Δt 越过 z_0 向上输送 $(n\bar{v}/6)\Delta A\Delta t m u_{y(z_0-\bar{\lambda})}$
 Δt 越过 z_0 向下输送 $(n\bar{v}/6)\Delta A\Delta t m u_{y(z_0+\bar{\lambda})}$ }

沿速度增方向净输送

$$\left. \begin{aligned} u_{y(z_0+\bar{\lambda})} &= u_{y(z_0)} + \frac{\partial u_y}{\partial z} \bar{\lambda} \\ u_{y(z_0-\bar{\lambda})} &= u_{y(z_0)} - \frac{\partial u_y}{\partial z} \bar{\lambda} \end{aligned} \right\} \Rightarrow \begin{cases} f\Delta t = (n\bar{v}/6)[m u_{y(z_0-\bar{\lambda})} - m u_{y(z_0+\bar{\lambda})}]\Delta A\Delta t \\ u_{y(z_0-\bar{\lambda})} - u_{y(z_0+\bar{\lambda})} = -2(\partial u_y / \partial z)\bar{\lambda} \\ f = -\eta \frac{du}{dz} A \end{cases} \Rightarrow \eta = \frac{1}{3} n m \bar{v} \bar{\lambda}$$

②讨论

$$\left. \begin{aligned} \eta &= \frac{1}{3} n m \bar{v} \bar{\lambda} \\ \bar{\lambda} &= \frac{1}{\sqrt{2} n \sigma} \\ \bar{v} &= \sqrt{\frac{8kT}{\pi m}} \end{aligned} \right\} \Rightarrow \eta = \frac{m \bar{v}}{3 \sqrt{2} \sigma} \left\{ \begin{aligned} &\Rightarrow \eta = \frac{2}{3 \sigma} \sqrt{\frac{k m}{\pi}} T^{\frac{1}{2}} \propto \frac{T^{0.5}}{\sigma} \text{ 与 } n \text{ 无关} \end{aligned} \right.$$

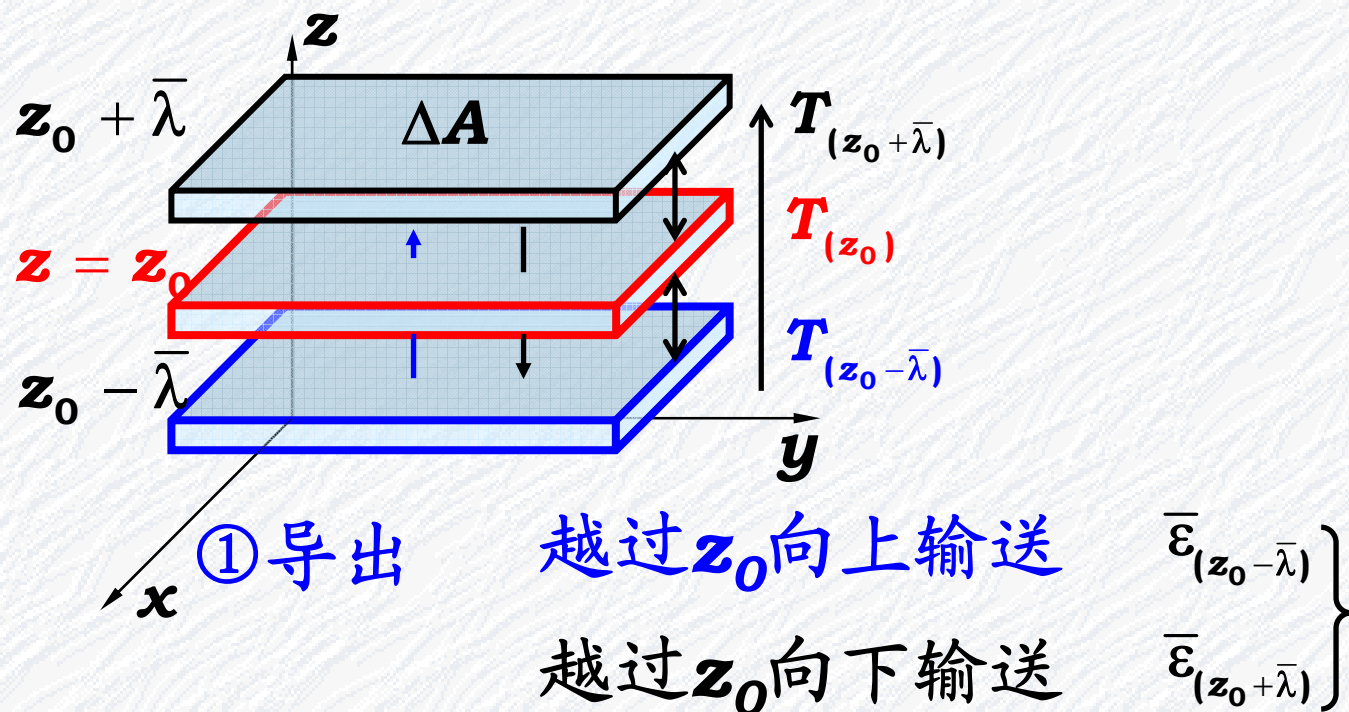
刚性球: $\sigma = \text{const.} \rightarrow \eta \propto T^{0.5}$

非刚性球: $\sigma \neq \text{const.} \rightarrow \eta \propto T^{0.7}$

由实验得T时 η 求出 σ

(2) 气体热传导系数

FangYi



单位时间单位面积透热

$$\left. \begin{array}{l} \bar{\varepsilon}_{(z_0 + \bar{\lambda})} = \bar{\varepsilon}_{(z_0)} + \frac{\partial \bar{\varepsilon}}{\partial z} \bar{\lambda} \\ \bar{\varepsilon}_{(z_0 - \bar{\lambda})} = \bar{\varepsilon}_{(z_0)} - \frac{\partial \bar{\varepsilon}}{\partial z} \bar{\lambda} \end{array} \right\} \Rightarrow \left\{ \begin{array}{l} J_T = (n\bar{v} / 6) [\bar{\varepsilon}_{(z_0 - \bar{\lambda})} - \bar{\varepsilon}_{(z_0 + \bar{\lambda})}] \\ \bar{\varepsilon}_{(z_0 - \bar{\lambda})} - \bar{\varepsilon}_{(z_0 + \bar{\lambda})} = -2(\partial \bar{\varepsilon} / \partial z) \bar{\lambda} \\ C_V = \partial(N_A \bar{\varepsilon}) / \partial T \end{array} \right.$$

$$\Rightarrow J_T = -\frac{1}{3} n\bar{v} \bar{\lambda} \frac{C_V}{N_A} \frac{\partial T}{\partial z} \Rightarrow \kappa = \frac{1}{3} n\bar{v} \bar{\lambda} \frac{C_V}{N_A}$$

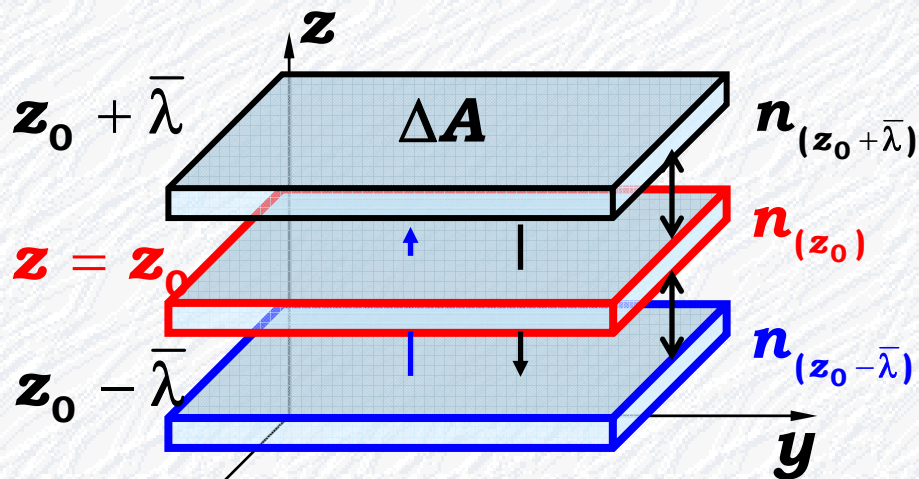
②讨论 $\kappa = \frac{1}{3} n \bar{v} \bar{\lambda} \frac{C_v}{N_A}$

$$\left. \begin{aligned} \bar{\lambda} &= \frac{kT}{\sqrt{2}\sigma p} \\ \bar{v} &= \sqrt{\frac{8kT}{\pi m}} \end{aligned} \right\} \Rightarrow \kappa = \frac{2}{3} \sqrt{\frac{km}{\pi}} \frac{C_v}{M_m} \frac{T^{0.5}}{\sigma}$$

刚性球: $\sigma = \text{const.} \rightarrow \kappa \propto T^{0.5}$, 与n无关

(3) 气体扩散系数 🎬

FangYi



① 导出 $\left. \begin{array}{l} \text{越过 } z_0 \text{ 向上输送 } n_{(z_0-\bar{\lambda})} \bar{v} / 6 \\ \text{越过 } z_0 \text{ 向下输送 } n_{(z_0+\bar{\lambda})} \bar{v} / 6 \end{array} \right\}$

单位时间单位面积净输运

$$\left. \begin{array}{l} n_{(z_0+\bar{\lambda})} = n_{(z_0)} + \frac{\partial n}{\partial z} \bar{\lambda} \\ n_{(z_0-\bar{\lambda})} = n_{(z_0)} - \frac{\partial n}{\partial z} \bar{\lambda} \end{array} \right\} \rightarrow \left\{ \begin{array}{l} J_N = (\bar{v} / 6) [n_{(z_0-\bar{\lambda})} - n_{(z_0+\bar{\lambda})}] \\ n_{(z_0-\bar{\lambda})} - n_{(z_0+\bar{\lambda})} = -2(\partial n / \partial z) \bar{\lambda} \\ J_N = -D \frac{dn}{dz} \end{array} \right. \Rightarrow \boxed{D = \frac{1}{3} \bar{v} \bar{\lambda}}$$

②讨论 $D = \frac{1}{3} \bar{v} \bar{\lambda}$

$$\left. \begin{aligned} \bar{\lambda} &= \frac{kT}{\sqrt{2} \sigma p} \\ \bar{v} &= \sqrt{\frac{8kT}{\pi m}} \end{aligned} \right\} \Rightarrow D = \frac{2}{3 \sigma p} \sqrt{\frac{(kT)^3}{\pi}} \frac{1}{m^{1/2}}$$

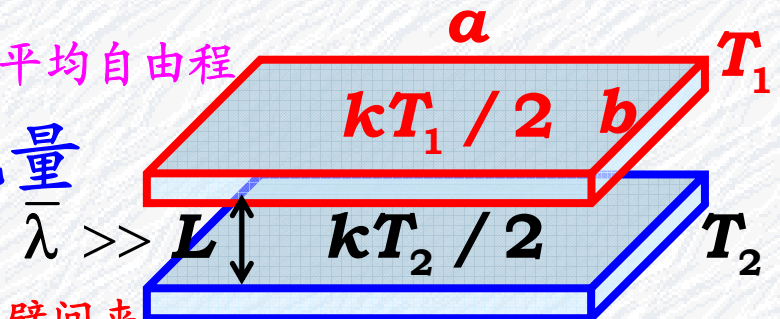
刚性球且 $p, T = \text{const.} \rightarrow D \propto m^{-0.5}$

2°稀薄气体输运

FangYi

(1) 稀薄气体热传导 $\bar{\lambda} \gg L$ 分子与器壁平均自由程

单位t单位面积平板上传递的能量



$\bar{\lambda} \gg L$

$L \ll a(\text{or } b)$

$$J_T = -\frac{1}{6} n \bar{v} \cdot \frac{1}{2} i k (T_1 - T_2)$$

一个分子在两器壁间来回碰一次传递平均能量

$$J_T = -\kappa' (T_1 - T_2) / L$$

$$L = \bar{\lambda}_{\text{分子器壁}}$$

$$\Rightarrow \kappa' = \frac{1}{6} \rho \bar{v} \bar{\lambda}_{\text{分子器壁}} \frac{C_V}{M_m}$$

超高真空
气体传热系数

$$\frac{1}{2} i k = C_V / N_A$$

$$\rho = n m \quad p = n k T$$

$$\Rightarrow \kappa = \frac{1}{3} \rho \bar{v} \bar{\lambda}_{\text{分子分子}} \frac{C_V}{M_m}$$

气体传热系数

$$\bar{v} = \sqrt{\frac{8 k T}{\pi m}}$$

$$\Rightarrow J_T \propto p T^{-1/2} (T_1 - T_2)$$

T一定, 超高真空气体单位t单位面积平板上传递热 $\propto p$

(2) 示例—杜瓦瓶

① 超高真空夹层(热传导、对流)

② 镀银内壁(热辐射)

现代的杜瓦瓶是苏格兰物理学家和化学家詹姆斯-杜瓦爵士发明的。

1892年，杜瓦设计出将玻璃吹制一个特殊的玻璃瓶。这是一个双层玻璃容器，两层玻璃胆壁都涂满银，然后把两层壁间的空气抽掉，形成真空。两层胆壁上的银可以防止辐射散热，真空能防止对流和传导散热，因此盛在瓶里的液体，温度不易发生变化。

后来，人们用镍制造外壳，保护易碎的玻璃瓶胆。起初，这种杜瓦瓶仅在实验室、医院和探险队中使用，以后在野餐或乘火车时也使用起来，最后逐步进入家庭。

社会物理学简介

应用自然科学(以物理学为核心)的思路、概念、原理和方法, 经过有效拓展、合理融汇和理性修正, 用来揭示、模拟、移植、解释和寻求社会行为规律和经济运行规律的交叉性学科。

社会物理学对于现实问题的探索，通常遵从一定的思考模式，并具有较严格的逻辑推演，在寻求机制的过程中形成了如下的基本认知框架：

- (1)承认系统(无论自然、人文、社会)无一例外地随时、空呈现出“差异”的绝对性；
- (2)只要存在各种“差异”，必然产生广义的“梯度”；
- (3)只要存在广义的“梯度”，必然产生广义的“力”；
- (4)只要存在广义的“力”，必然产生广义的“流”；

“差异”→“梯度”→“力”→“流”

社会物理学着重探索广义“流”的存在形式、演化方向、行进速率、表现强度、相互关系、响应程度、反馈特征及其敏感性、稳定性，从而刻划“自然—社会—经济”复杂巨系统的时空行为和运行轨迹，寻求其内在机制和调控要点，在计算机等辅助工具的支持下，有效地服务于政治、经济、军事、社会等重大问题的决策与管理。